

اثر ناهمسانی جنس پیوند و شریان میزبان بر پیوند با پس انتها به پهلو

۳ مهدی رمضان‌پور^۱، مهدی معرفت^{۲*}، منیژه مختاری دیزجی

۱- دانشجوی کارشناسی ارشد، مهندسی مکانیک، دانشگاه تربیت مدرس، تهران

۲- دانشیار، مهندسی مکانیک، دانشگاه تربیت مدرس، تهران

۳- استاد، بخش فیزیک پزشکی، دانشگاه تربیت مدرس، تهران

* تهران، صندوق پستی ۱۴۱۱۵-۱۱۱

maerefat@modares.ac.ir

چکیده

ناهمسانی جنس پیوند و شریان میزبان در پیوندهای با پس عروق کرونری یکی از عوامل موثر در بروز ناکارایی این پیوندها بهشمار می‌رود. هدف از این مطالعه، بررسی اثر ناهمسانی پیوند و شریان میزبان بر پیوند با پس انتها به پهلو می‌باشد. برای مدل غیرNewtonیوتی کربو-یاسودا استفاده شده است و جنس دیواره پیوند و شریان میزبان نیز ایزوتوپیک و الاستیک فرض شده است. در این مطالعه همچنین اثر رئولوژی خون و انعطاف‌پذیری دیواره پیوند در توزیع تنش برشی و پروفیل سرعت در پیوند با پس انتها به پهلو بررسی شده است. نتایج شبیه‌سازی‌های آندرکشنس سیال - سازه دوراهه نشان می‌دهند که ناهمسانی جنس پیوند و شریان میزبان موجب جابجایی کمتر دیواره پیکربندی پیوند با پس در ناحیه بحرانی محل اتصال پیوند به شریان میزبان خواهد شد و این موضوع سبب ایجاد تنش برشی بیشتر در سازه، در محل اتصال پیوند به شریان میزبان می‌گردد. جابجایی مذکور در هر دو حالت همسان و غیر همسان به نحوی است که همواره در صدد جداسازی پیوند و شریان میزبان در محل خط پیخیه است. نجوه توزیع تنش برشی روی خط مرکز بستر شریان میزبان و پنجه پیوند نشان می‌دهد که تفاوت توزیع این پارامتر همودینامیکی در حالت‌های همسان و غیرهمسان تنها در حالت که فشار وارد و بر دیواره خارجی آن کمتر می‌شود قابل مشاهده بوده و همچنین مقدار این پارامتر همودینامیکی در ناحیه دیستال پیکربندی پیوند با پس و بعد از پنجه آن در حالت همسان کمتر از حالت غیرهمسان است.

اطلاعات مقاله

مقاله پژوهشی کامل

دربافت: 28 دی 1393

پذیرش: 05 اسفند 1393

ارائه در سایت: 15 فروردین 1394

کلید واژگان:

ناهمسانی جنس پیوند و شریان میزبان

بارامترهای همودینامیکی

سیال غیر Newtonی

اندرکشنس سیال - سازه دوراهه

The effects of compliance mismatch on the End to Side bypass graft

Mehdi Ramezanpour¹, Mehdi Maerefat^{1*}, Manijhe Mokhtari-Dizaji²

1- Department of Mechanical Engineering, Tarbiat Modares University, Tehran, Iran

2- Department of Medical Physics, Tarbiat Modares University, Tehran, Iran

* P.O.B. 14115-111 Tehran, Iran, maerefat@modares.ac.ir

ARTICLE INFORMATION

Original Research Paper

Received 18 January 2015

Accepted 24 February 2015

Available Online 04 April 2015

Keywords:

Compliance mismatch

Hemodynamic parameter

Non-Newtonian fluid

2 Way FSI

ABSTRACT

Compliance mismatch is one of the reasons of the coronary artery bypass graft (CABG) failure. The purpose of this study is to investigate the effect of compliance mismatch on the End to Side bypass graft. In order to model non Newtonian behavior of the blood flow, the Carreau-Yasuda model was employed and the graft and artery wall was assumed to be isotropic and modeled as linearly elastic. In this study the effects of blood rheology and wall distensibility on the wall shear stress distribution and velocity profile were also investigated. The results of the 2 way fluid structure interaction simulation show that the maximum deformation occurs in the critical position of graft-artery junction and compliance mismatch causes smaller wall deformation in comparison to the cases in which the materials of the graft and artery are the same, which leads to a higher intramural shear stress in graft-artery junction. The anastomotic wall deforms in a way that always tends to separate the graft and artery. Wall shear stress distribution on the bed centerline and the toe of the bypass graft indicates that the differences between the homologous and non-homologous material case are visible only when the internal pressure is lower than the external one. In the distal location of the artery after the toe of the anastomotic, the values of wall shear stress in the homologous material case are lower than the non-homologous material one.

۱- مقدمه

ناهمسانی جنس پیوند و شریان میزبان^۱ در پیوندهای با پس یکی از عوامل موثر در بروز ناکارایی این پیوندها بهشمار می‌رود [۱]. یکی از عملهای مهم رگ‌های خونی توانایی انبساط و انقباض آن‌ها است. انعطاف‌پذیری وریدها به دلیل نازک بودن دیواره آن‌ها نسبت به شریان‌ها بیشتر است. انعطاف‌پذیری وریدها در فشارهای پایین ۱۰ تا ۲۰ برابر بیشتر از شریان‌ها است ولی در فشارهای بالاتر

ناهمسانی جنس پیوند و شریان میزبان^۱ در پیوندهای با پس یکی از عوامل موثر در بروز ناکارایی این پیوندها بهشمار می‌رود [۱]. یکی از عملهای مهم رگ‌های خونی توانایی انبساط و انقباض آن‌ها است. انعطاف‌پذیری وریدها به دلیل نازک بودن دیواره آن‌ها نسبت به شریان‌ها بیشتر است. انعطاف‌پذیری وریدها در فشارهای پایین ۱۰ تا ۲۰ برابر بیشتر از شریان‌ها است ولی در فشارهای بالاتر

1- Compliance mismatch

برای ارجاع به این مقاله از عبارت ذیل استفاده نمایید:

M. Ramezanpour, M. Maerefat, M. Mokhtari-Dizaji, The effects of compliance mismatch on the End to Side bypass graft, *Modares Mechanical Engineering*, Vol. 15, No. 5, pp. 279-286, 2015 (In Persian)



شکل 1 هندسه استفاده شده برای پیوند با پس انتها به پهلو، شکل کوچکتر نمایی از روبروی پیوند را نشان می‌دهد.

3- معادلات حاکم

در تحقیق حاضر خون سیالی همگن، تراکمن‌پذیر و غیرنیوتی فرض شده است و جریان خون سبعده، ناپایا و آرام در نظر گرفته شده است که با توجه به محدوده تغییرات عدد رینولوز که ارائه خواهد شد، فرضی منطقی است. معادلات حاکم بر جریان خون در رگی با دیواره صلب به صورت تانسوری عبارتند از:

$$\text{معادله پیوستگی (رابطه 1):}$$

$$U_{i,j} = 0 \quad (1)$$

$$\text{معادله مومنتوم (رابطه 2):}$$

$$\rho \left(\frac{\partial u_i}{\partial t} + u_j u_{i,j} \right) = -p_{,i} + \tau_{ij,j} \quad (2)$$

$$\text{معرف چگالی خون است و مقدار آن } 1060 \text{ kg/m}^3 \text{ می‌باشد و } \tau \text{ تانسور تنش برشی است که توسط رابطه (3) بیان می‌گردد.}$$

$$\tau_{ij} = \mu_{eff} \gamma_{ij} \quad (3)$$

$$\mu_{eff} \text{ ویسکوزیته دینامیکی خون است. به منظور مدل‌سازی رفتار غیرنیوتی سیال خون از مدل کریو-یاسودا}^8 \text{ (رابطه 4) استفاده شده است.}$$

$$\mu_{eff} = \mu_{\infty} + (\mu_0 - \mu_{\infty}) [1 + (\lambda \dot{\gamma})^{\frac{(n-1)}{a}}] \quad (4)$$

$$\mu_0 \text{ و } \mu_{\infty} \text{ و } \lambda \text{ و } a \text{ ثابت‌هایی اند که با استفاده از خواص خون تعیین می‌گردند و مقادیر هر یک از آن‌ها به ترتیب برابر با } 0/0022 \text{ Pa.s, } 0/0022 \text{ Pa.s \text{ و }} 0/11 \text{ و } 0/644 \text{ و } 0/392 \text{ در نظر گرفته شده است [6]. نشان داده شده است که رابطه (4) به خوبی توانایی توصیف رفتار غیرنیوتی خون را دارد [7].} \text{ از انداده تانسور نرخ تغییر شکل ایست. با این داده‌ها مقدار عدد رینولوز بیشینه با فرض ویسکوزیته دینامیکی } 0/004 \text{ برای خون برابر } 381/6 \text{ بدست خواهد آمد.}$$

$$\text{در رگی با دیواره انعطاف‌پذیر علاوه بر معادلات حاکم بر بخش سیال به معادلات حاکم بر بخش سازه نیز نیاز است که این معادلات توسط رابطه (5) بیان می‌شوند:}$$

$$\{F_{(t)}\} = [M]\{\ddot{u}_{(t)}\} + [K]\{u_{(t)}\} \quad (5)$$

در این معادله $F_{(t)}$ بردار نیرو، $[M]$ ماتریس جرم، $[K]$ ماتریس سختی، u بردار جابجایی و \ddot{u} بردار شتاب برای هر نقطه می‌باشد. این معادله توسط شرایط مرزی‌ای از نوع تنش در فصل مشترک سازه- سیال و قیدهایی برای محدود کردن حرکت جسم صلب‌وار میدان محاسباتی در حلقه ورودی پیوند و حلقه خروجی شریان میزان حل می‌گردد. در این تحقیق جنس رگ‌ها ثابت، همگن و الاستیک فرض شده است همچنین مدول یانگ شریان و پیوند با در نظر گرفتن فشار تراسمورال 100 میلی‌متر جیوه طبق گزارش مرجع [8] و با استفاده از میان‌یابی برابر $1/5 \times 10^6$ و $2/2 \times 10^6$ تعیین گردید. ضخامت دیواره رگ‌ها با توجه به گزارش مک دونالد [9] برابر با 1mm در نظر گرفته شد.

4- شرایط مرزی و اولیه

بروفیل سرعت نشان داده شده در شکل 2 به عنوان شرط مرزی ورودی با فرکانس $0/9 \text{ Hz}$ به صورت توسعه یافته در ورودی پیکربندی‌ها اعمال گردید

8- Carreau-Yasuda

انعطاف‌پذیری شریان‌ها بیشتر از وریدها است. بدین طریق در پیوند با پس که در آن معمولاً یک ورید به یک شریان متصل می‌شود، انعطاف‌پذیری به عنوان یک فاکتور مکانیکی تاثیرگذار بر کارآیی این پیوند مطرح می‌شود. مشاهدات تجربی نشان داده‌اند که با افزایش میزان اختلاف انعطاف‌پذیری پیوند و شریان میزان در پیوندهای با پس مقدار بیشتری از $1H^1$ در اطراف خطوط بخیه این نوع پیوندها ایجاد خواهد شد [3-4]. H^1 عامل اصلی ناکارآیی پیوندهای با پس، افزایش غیرعادی سلول‌های اندوتیال و ضخیم شدن لایه داخلی رگ‌های خونی² است. بالیک و همکاران [4] به طور عددی به مقایسه میزان تاثیر اختلاف انعطاف‌پذیری بر تنش‌های داخلی سازه در پیوندهای انتها به پهلو و انتها به انتهای پرداختند و دریافتند که اثر افزایش اختلاف انعطاف‌پذیری در پیوندهای انتها به پهلو بیشتر از نوع انتها به انتها است و این اختلاف سبب افزایش تنش‌های داخلی در محل اتصال پیوند به شریان میزان خواهد شد. هوفر و همکاران [5] با روش عددی به بررسی اثر ناهمسانی جنس پیوند و شریان میزان بر پیوند با پس در دو حالت که سختی پیوند در یکی از آن‌ها 10 و در دیگری 0/25 برابر سختی شریان میزان بود، پرداختند و در نتیجه عنوان کردند که تنش اصلی³ وارده بر سازه در محل اتصال پیوند به شریان میزان در حالتی که سختی پیوند 10 برابر سختی شریان میزان است، از لحاظ مرتبه بزرگی، یک مرتبه بزرگتر از حالتی است که سختی پیوند 0/25 برابر سختی شریان میزان است، همچنین با بررسی تنش برشی متوسط گیری شده بسبت زمان در چند نقطه خاص و پروفیل سرعت محوری در مکان‌های مختلف از پیوند با پس در یک زمان خاص به این نتیجه رسیدند که ناهمسانی جنس پیوند و شریان میزان اثر کمی بر همودینامیک پیوند با پس دارد. در تحقیق حاضر با در نظر گرفتن پیوندی از جنس ورید که سختی آن بیشتر از شریان میزان است و همچنین پیوندی از جنس شریان که سختی آن برابر سختی شریان میزان است به بررسی اثر ناهمسانی جنس پیوند و شریان میزان بر پیوند انتها به پهلو پرداخته می‌شود. از تفاوت‌های تحقیق حاضر با تحقیق انجام شده توسط هوفر و همکاران [5] می‌توان به بررسی توزیع تنش برشی لحظه‌ای علاوه بر تنش متوسط روی خط مرکز بستر شریان میزان برای بررسی دقیق‌تر تفاوت همودینامیک پیوند هم‌جنین و غیر هم‌جنین اشاره کرد، در نتیجه این عمل تفاوت قابل ملاحظه‌ای میان همودینامیک پیوند هم‌جنین و غیر هم‌جنین در زمانی خاص مشاهده شد. همچنین در تحقیق حاضر از مدول یانگ حقیقی که توسط نتایج آزمایشگاهی تعیین شده است، استفاده گردیده است که با فیزیک مسئله تطبیق بهتری دارد.

2- مدل هندسی

شکل 1 هندسه یک پیوند با پس انتها به پهلو با زاویه پیوند 30 درجه و نسبت قطر پیوند به شریان میزان 2 را نشان می‌دهد. این هندسه در بخش ورکبینج⁴ نرم افزار انسیس⁵ شبکه بندی شده است و در عملیات شبکه بندی از ترکیبی از المان‌های چهار ضلعی⁶ و گوهای شکل⁷ استفاده شده است. با تعداد المان تقریباً 600000 و گام زمانی 0/01 ثانیه استقلال از شبکه و گام زمانی برای تمام هندسه‌های پیوند با پس مورد بررسی، حاصل شد.

1- Intimal Hyperplasia

2- Intimal thickening

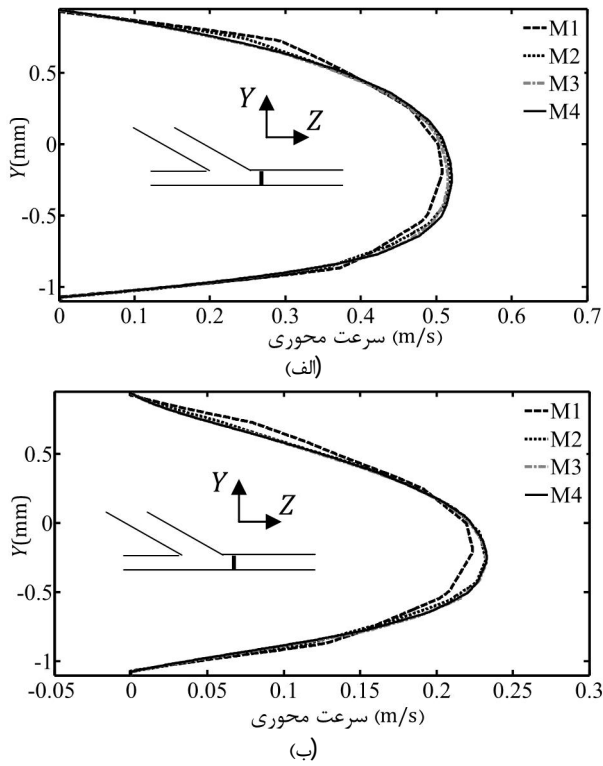
3- Principal stress

4- Workbench

5- ANSYS

6- Tetrahedral

7- Wedge



شکل 4 پروفیل سرعت در دو زمان t_1 و t_2 (الف) (ب) به ازای اندازه‌های متفاوت از شبکه در مقطعی به فاصله 2mm از پنجه پیوند

شرایط اولیه برای مولفه‌های سرعت و فشار و جابجایی دیواره از حل حالت پایا حاصل شد.

5- روش حل

در حل عددی مسائل اندرکنش سیال- سازه چون حجم کنترل با گذشت زمان تغییر شکل می‌دهد از معادلات ناویر استوکس تعمیم یافته که با کمک قضیه لاینینتز⁶ بدست می‌آیند، استفاده می‌شود (روابط 6 و 7).

$$\frac{d}{dt} \int_{V(t)} \rho dV + \int_S \rho (U_j - W_j) dn_j = 0 \quad (6)$$

$$\frac{d}{dt} \int_{V(t)} \rho U_i dV + \int_S \rho (U_j - W_j) U_i dn_j = - \int_S P dn_i + \int_S \mu \left(\frac{\partial U_i}{\partial x_j} + \frac{\partial U_j}{\partial x_i} \right) dn_j + \int_V S_{ij} ddV \quad (7)$$

W_j سرعت مرزهای حجم کنترل است.

به منظور اجرای شبیه‌سازی اندرکنش سیال- سازه دو راهه⁷ این معادلات به همراه معادلات حاکم بر بخش سازه به صورت کاملاً کوپل با یکدیگر و با روشی تکراری توسط نرم‌افزار انسیس حل می‌شوند تا از این طریق اثر جابجایی بخش سازه بر توزیع پارامترهای سیال و همچنین اثر تغییر در پارامترهای سیال بر بخش سازه که به تغییر شکل و توزیع تنش در آن می‌انجامد، بدست آید. برای جلوگیری از اضافه شدن ویسکوزیته مجازی به ویسکوزیته واقعی سیال⁸ در گستته سازی ترم جابجایی از صورت مرتبه دوم و پسرو⁹ استفاده شد و همچنین برای کاهش میزان نوسانات غیر فیزیکی حاصل از این صورت از گستته‌سازی¹⁰ در تمامی شبیه‌سازی‌ها از دقت حل

6- Leibnitz Rule: $\frac{d}{dt} \int_{V(t)} \varphi dV = \int_S \frac{\partial \varphi}{\partial t} dV + \int_S \varphi W_j dn_j$

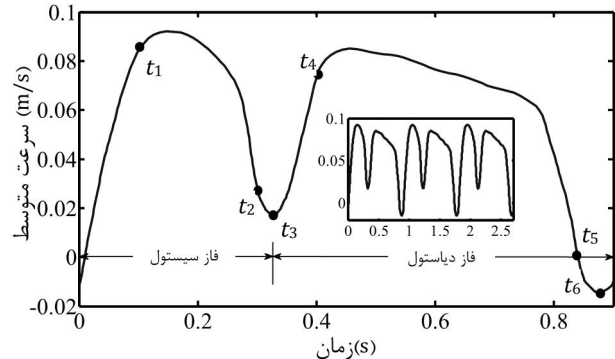
7- 2 Way fluid structure interaction

8- Numerical diffusion

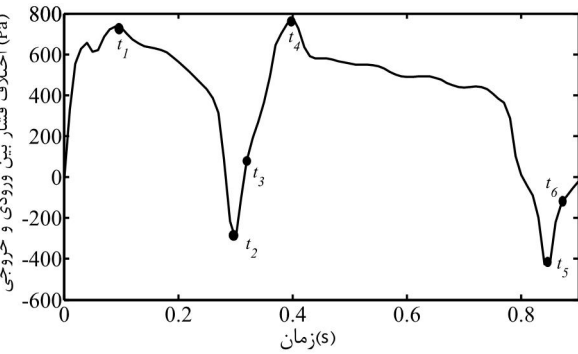
9- Second order upwind

10- Dispersion

[10]. محدوده نرمال عدد ومرسلی برای شریان کرونری در بازه 1 الی 10 قرار می‌گیرد [11,9]، با این فرکانس مقدار عدد ومرسلی در پیوند برابر $2/44$ و در شریان برابر $1/22$ بدست خواهد آمد که در محدوده نرمال این عدد قرار دارد. در شکل 3 پروفیل اختلاف فشار ایجاد شده میان ورودی و خروجی پیوند با پیس در صورت اعمال پروفیل سرعت مذکور در ورودی نشان داده شده است. در شکل 2 و 3 همچنین زمان‌های مورد نظر برای بررسی نتایج نشان داده شده‌اند، این زمان‌ها عبارتند از: $t_1=0.15$ ، زمان بیشینه فشار در فاز سیستول¹، $t_2=0.35$ ، زمان کمینه سرعت در فاز سیستول¹، $t_3=0.325$ ، زمان بیشینه فشار در فاز دیاستول²، زمان کمینه سیستول¹، $t_4=0.45$ ، زمان بیشینه فشار در فاز دیاستول²، زمان کمینه سیستول¹، $t_5=0.845$ ، زمان کمینه فشار در فاز دیاستول²، زمان کمینه سرعت در فاز دیاستول². با انجام شبیه‌سازی در چند دوره زمانی مشاهده شد که نتایج مربوط به دوره سوم با دوره چهارم تفاوت قابل ملاحظه‌ای ندارد و به عبارت دیگر جریان پس از دوره دوم کاملاً تناوبی می‌شود، به همین دلیل تنها نتایج مربوط به دوره سوم مورد بررسی و تحلیل قرار گرفته‌اند. در خروجی پیکربندی‌ها از شرط مرزی کشش صفر³ استفاده شده است. در حالت دیواره صلب در دیواره پیکربندی‌ها شرط عدم لغزش برای سیال اعمال گردید. در حالت انعطاف‌پذیر در حوزه سازه از قیدی در حلقه موجود در ورودی پیوند و حلقه‌های موجود در بخش دیستال و پروکسیمال شریان میزان میزان استفاده شد که بتواند از حرکت جسم صلب‌وار پیکربندی در اثر نیروی ناشی از تنفس برخی سیال جلوگیری به عمل آورد. در فصل مشترک سیال- سازه نیز از شرط مرزی اندرکش سیال- سازه⁴ استفاده شد. معیار همگرایی برای اعلام پاسخ نهایی حاصل از حل معادلات حاکم در بخش سیال⁵ و از نوع متوسط مجموع باقیمانده‌ها⁵ و در بخش سازه نیز⁵ انتخاب گردید.



شکل 2 پروفیل سرعت اعمالی در ورودی پیوند با پیس



شکل 3 پروفیل اختلاف فشار ایجاد شده میان ورودی و خروجی پیوند با پیس

1- Systolic phase

2- Diastolic phase

3- Zero traction

4- Fluid-Structure interaction

5- Root Mean Square

همان طور که در این شکل‌ها ملاحظه می‌گردد تقریباً با تعداد 600000 المان و گام زمانی 0/01 حل، مستقل از شبکه محاسباتی و گام زمانی می‌گردد.

7- صحت سنجی

در عملیات صحت‌سنجی حل عددی در این تحقیق از تنها حل تحلیلی موجود برای جریان ضربانی سیال در یک لوله انعطاف‌پذیر که توسط ورسنلی⁴ ارائه گردیده است استفاده شد. حل تحلیلی به ازای پارامترهای زیر بدست آمده است.

$$\omega = 2\pi, K_s = -500 \frac{\text{Pa}}{\text{m}}, \mu = 0/004 \text{ Pa s}, R = 0/3 \text{ cm}, h = 0/03 \text{ cm}, \sigma = 0/499, E = 2 \times 10^5 \text{ Pa}, \rho_w = \rho = 1000 \frac{\text{kg}}{\text{m}^3}, L = 4 \text{ cm}$$

ω فرکانس زاویه‌ای، K_s گرادیان فشار ورودی، μ ویسکوزیته دینامیکی سیال، R شعاع لوله، h ضخامت لوله، σ ضریب پواسون، E مدول یانگ، ρ_w چگالی لوله، ρ چگالی سیال و L طول لوله است.

شرط مرزی در ورودی و خروجی لوله، فشار حاصل از حل تحلیلی ورسنلی همانند مرجع [6] است. شبیه‌سازی به مدت 7 دوره زمانی انجام شد و تنها نتایج دوره هفتم مورد بررسی قرار گرفته است. در شکل 6 پروفیل‌های سرعت محوری حاصل از حل عددی و تحلیلی در میانه لوله با یکدیگر مقایسه شده‌اند و همان‌طور که ملاحظه می‌گردد تطابق بسیار مطلوبی بین نتایج این دو حل وجود دارد.

8- نتایج

8-1- اثر ناهمسانی جنس پیوند و شریان میزبان بر جابجایی دیواره و تنش‌های داخلی سازه

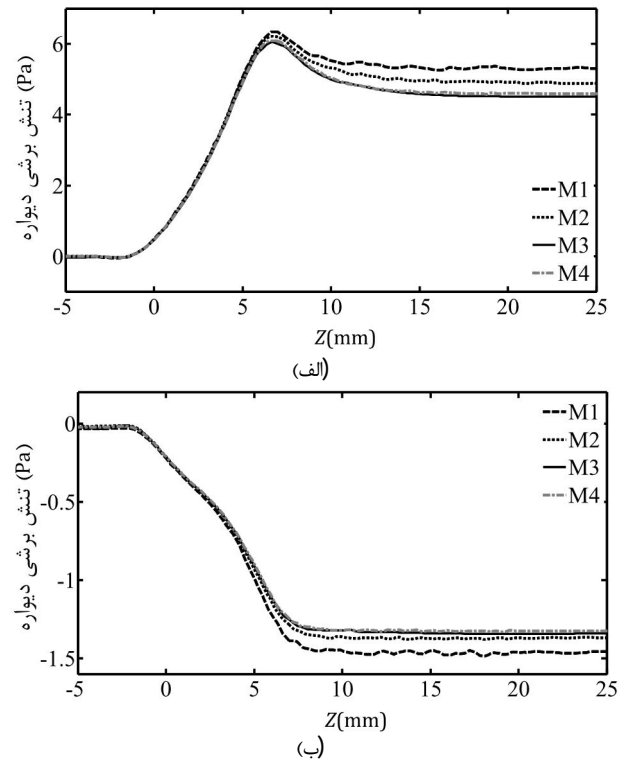
همان‌طور که در شکل 7 نشان داده شده است بیشینه جابجایی دیواره در صورت ناهمسان بودن جنس پیوند و شریان میزبان برابر 0/24 میلی‌متر است در حالی که بیشینه جابجایی دیواره در صورت همسان بودن جنس پیوند و شریان میزبان برابر 0/31 میلی‌متر خواهد بود. بنابراین بیشینه جابجایی دیواره پیوند در هر دو حالت در محل اتصال پیوند به شریان میزبان رخ داده و در صورت همسان بودن جنس پیوند و شریان میزبان تقریباً 1/3 برابر حالت ناهمسان می‌باشد. لازم به ذکر است که درصد تغییرات در اندازه قطر پیوند در حالت ناهمسان و همسان به ترتیب 6% و 8% می‌باشد و این در حالیست که طبق مشاهدات حاصل از سی‌تی اسکن⁵، عروق کرونری در طول یک سیکل قلبی حداقل دچار 8% افزایش قطر می‌شوند [12] بنابراین مقادیر بدست آمده برای میزان جابجایی دیواره پیوند توسط حل عددی مطابقت بسیار مطلوبی با نتایج آزمایشگاهی دارند. در شکل 8 مقدار جابجایی دیواره به منظور نمایش نحوه جابجایی دیواره پیوند و شریان میزبان با 4 برابر بزرگنمایی نشان داده شده است. همان‌طور که در این شکل ملاحظه می‌گردد این جابجایی به نحوی است که تمایل دارد پیوند و شریان میزبان را در محل اتصال آن‌ها به یکدیگر از هم جدا سازد. تاکنون روش‌های نوینی برای کاهش اثرات ناهمسانی جنس پیوند و شریان میزبان، از طریق تغییر نحوه اتصال پیوند به شریان میزبان ارائه شده است [14,13] ولی این روش‌ها هنوز به طور عمومی مورد استفاده قرار نگرفته‌اند و در بیشتر جراحی‌های کنونی از روش سنتی اتصال پیوند به شریان میزبان با کمک نخ بخیه استفاده می‌گردد.

4- Womersley
5- CT scan

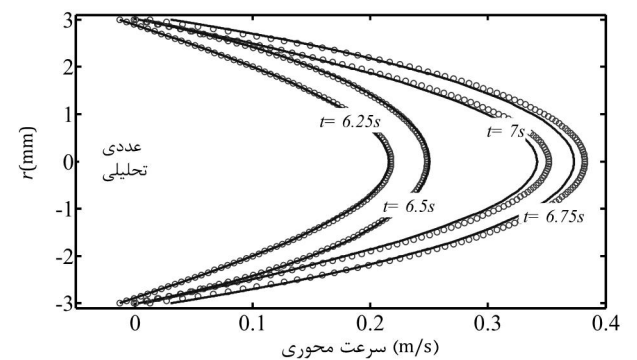
دوگانه¹ بهره گرفته شد. در گسسته‌سازی ترم زمانی از تقریب مرتبه دوم و پسرو اول²، به دلیل مرتبه دوم بودن دقت آن استفاده شد همچنین برای ترم نفوذ نیز از تقریب مرکزی³ بهره گرفته شد.

6- استقلال حل از شبکه محاسباتی

برای مطالعه استقلال حل از شبکه محاسباتی پروفیل سرعت در مقطعی واقع در ناحیه دیستال شریان میزبان و در فاصله 2 میلی‌متری از پنجه پیوند و همچنین توزیع تنش برشی روی خط مرکز بستر شریان میزبان (خط نشان) داده شده در شکل 1) در زمان‌های مختلف به ترتیب در شکل‌های 4 و 5 مورد بررسی قرار گرفت. در شبکه M1 از 245382 المان و گام زمانی 0/005 در شبکه M2 از 281493 المان و گام زمانی 0/005 در شبکه M3 از 321527 المان و گام زمانی 0/005 در شبکه M4 از 602781 المان و گام زمانی 0/01 استفاده شده است.

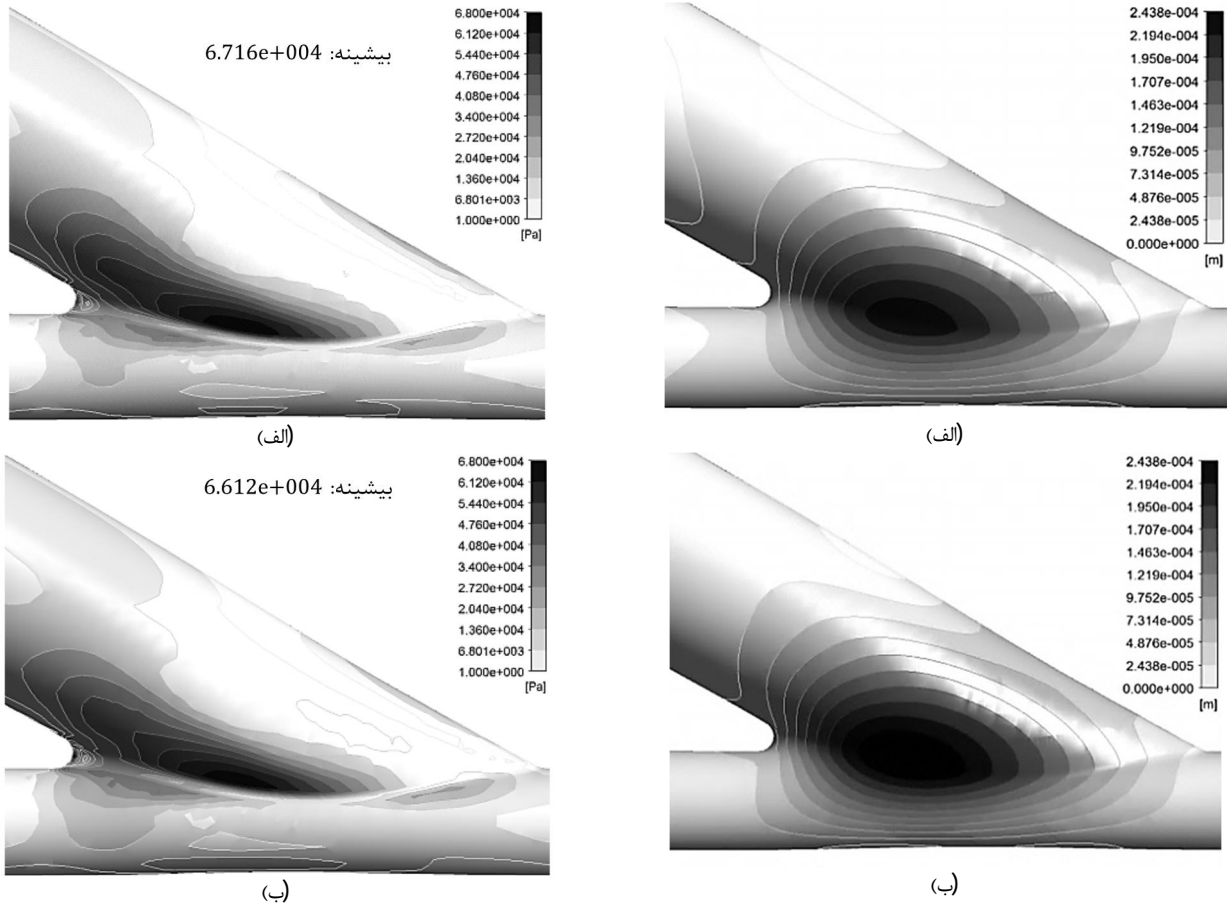


شکل 5 توزیع تنش برشی روی خط مرکز بستر شریان میزبان در دو زمان t_4 (الف) و (ب) به ازای اندازه‌های متفاوت از شبکه



شکل 6 صحت‌سنجی حل عددی در لوله با دیواره انعطاف‌پذیر توسط حل تحلیلی ورسنلی

1- Double precision
2- Second order backward Euler scheme
3- Central difference scheme



شکل 7 اثر ناهمسانی جنس پیوند و شریان میزان بر بیشینه جابجایی دیواره. (الف) حالت ناهمسان، (ب) حالت همسان

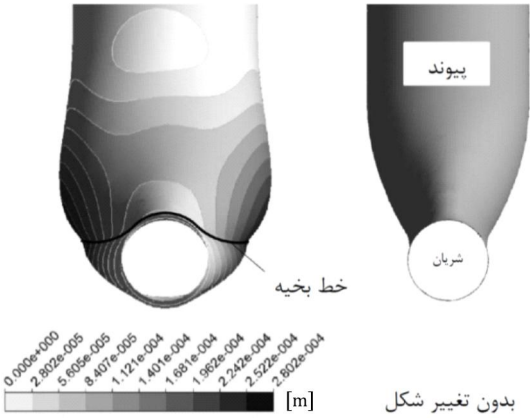
همانطور که در این شکل ملاحظه می‌گردد بیشینه تنش برشی در حالت ناهمسان $1/6$ درصد بیشتر از حالت همسان است.

$$\tau_{eq} = \sqrt{((\tau_{xy}^2) + (\tau_{xz}^2) + (\tau_{yz}^2))} \quad (8)$$

2-8- اثر ناهمسانی جنس پیوند و شریان میزان بر همودینامیک پیوند با پیس

اثر ناهمسانی جنس پیوند و شریان میزان بر پارامترهای همودینامیکی از طریق بررسی نحوه توزیع تنش برشی لحظه‌ای روی خط مرکز بستر شریان میزان و پنجه پیوند مورد بررسی قرار گرفته است. در شکل 10 توزیع تنش برشی متوسط روی خط مرکز بستر شریان میزان نشان داده شده است. همانطور که در این شکل ملاحظه می‌گردد در مورد توزیع تنش برشی متوسط همان‌طور که در مرجع [5] نیز گزارش شده است در این تحقیق نیز تفاوتی بین حالت پیوند هم‌جنس و غیر هم‌جنس مشاهده نشده است بنابراین در نحوه توزیع دیگر پارامترهای همودینامیکی که تنها وابسته به تنش برشی متوسط می‌باشند تفاوتی بین حالت پیوند هم‌جنس و غیر هم‌جنس وجود نخواهد داشت. برای مثال در نحوه توزیع پارامترهای همودینامیکی نظری شاخص تنش برشی نوسانی¹ و زمان نسبی سکون ذرات² به دلیل وابستگی این پارامترها به تنش برشی متوسط گیری شده نسبت به زمان (راطه 9) و نه تنش برشی لحظه‌ای تفاوت چندانی میان حالت جنس پیوند و شریان میزان همسان و غیر همسان وجود ندارد و به همین دلیل ارائه نشده‌اند.

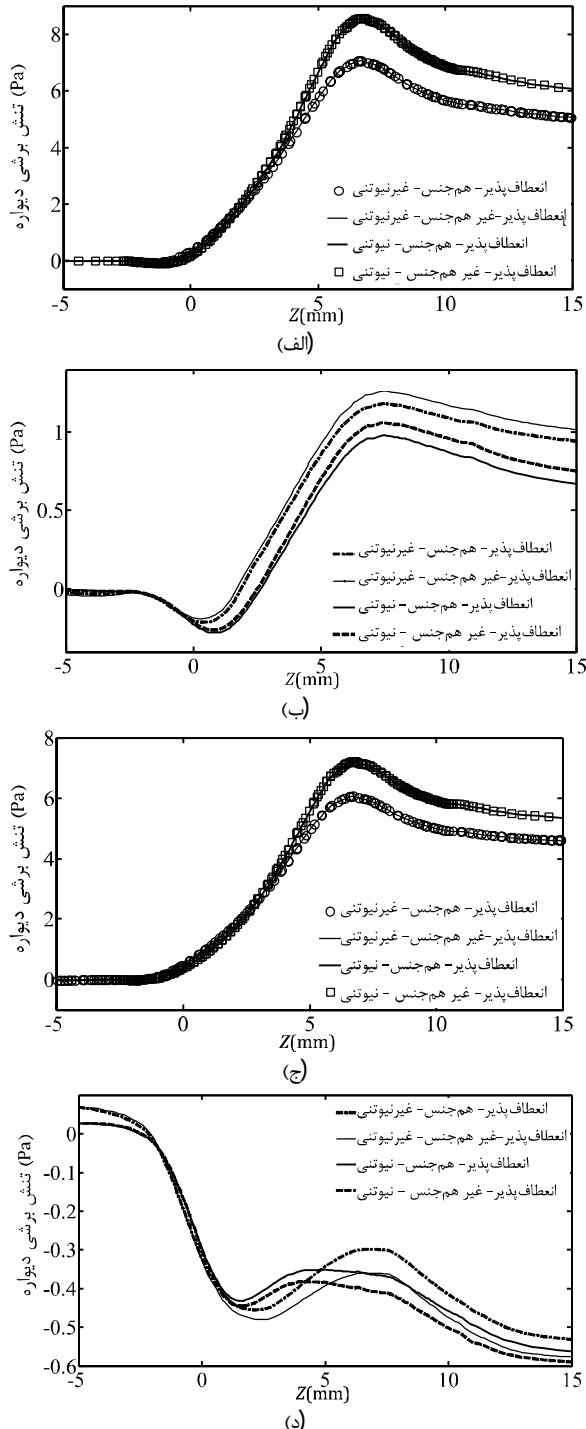
شکل 7 اثر ناهمسانی جنس پیوند و شریان میزان بر بیشینه جابجایی دیواره. (الف) حالت ناهمسان، (ب) حالت همسان



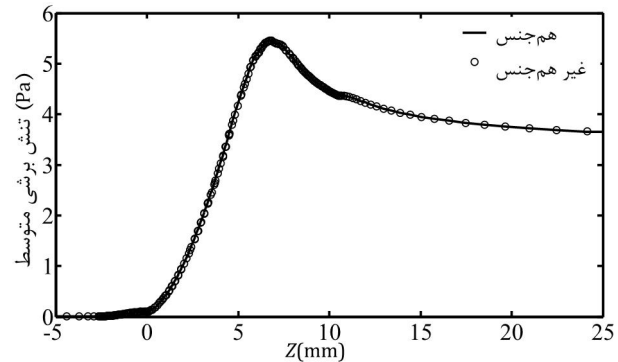
شکل 8 نحوه جابجایی دیواره پیکربندی پیوند با پیس با 4 برابر بزرگنمایی

اگرچه میزان جابجایی دیواره در حالت همسان نسبت به حالت ناهمسان بیشتر است ولی باید توجه داشت که در حالت ناهمسان، شریان میزان با توجه به فشار وارد از سیال تمايل به جابجایی بیشتری نسبت به پیوند دارد و در واقع این پیوند است که به دلیل بیشتر بودن مدول الاستیسیته آن از جابجایی آزاد شریان میزان جلوگیری می‌کند و در نتیجه این عمل در میزان کرنش دیواره در محل اتصال پیوند به شریان میزان در دو بخش متعلق به پیوند و شریان میزان ناهمانگی ایجاد شده و این موضوع باعث ایجاد تنش برشی در محل اتصال پیوند به شریان میزان می‌گردد. به این دلیل در این تحقیق از کاتورهای تنش برشی معادل، که طبق رابطه (8) تعریف می‌شود، برای بیان تنش ایجاد شده در سازه استفاده گردید (شکل 9).

که در این شکل‌ها ملاحظه می‌گردد در مکان‌هایی که نرخ برش در آن‌ها بالاست مدل غیر نیوتونی سبب کاهش تنش برشی شده و همچنین در مکان‌هایی که نرخ برش کمی دارد سبب افزایش تنش برشی می‌گردد. برای مثال در زمان‌های شتاب-گیری سیال (زمان‌های t_1 و t_4) (شکل‌های 11 و 12) (الف) و (ج)) که نرخ برشی بالاست مدل غیر نیوتونی با کاهش ویسکوزیته، تنش برشی کمتری را نسبت به مدل نیوتونی پیش‌بینی می‌کند در حالی که در زمان‌های کاهش سرعت سیال (زمان‌های t_3 و t_5) (شکل‌های 11 و 12، ب) و (د)) مدل غیر نیوتونی با افزایش ویسکوزیته سبب افزایش تنش برشی نسبت به مدل نیوتونی می‌گردد.



شکل 11 توزیع تنش برشی روی خط مرکز بستر شریان میزان در زمان‌های $t_1=0.1\text{s}$ (الف)، $t_3=0.32\text{s}$ (ب)، $t_4=0.4\text{s}$ (ج)، $t_5=0.84\text{s}$ (د)



شکل 10 اثر ناهمسانی جنس پیوند و شریان میزان بر توزیع تنش برشی متوسط

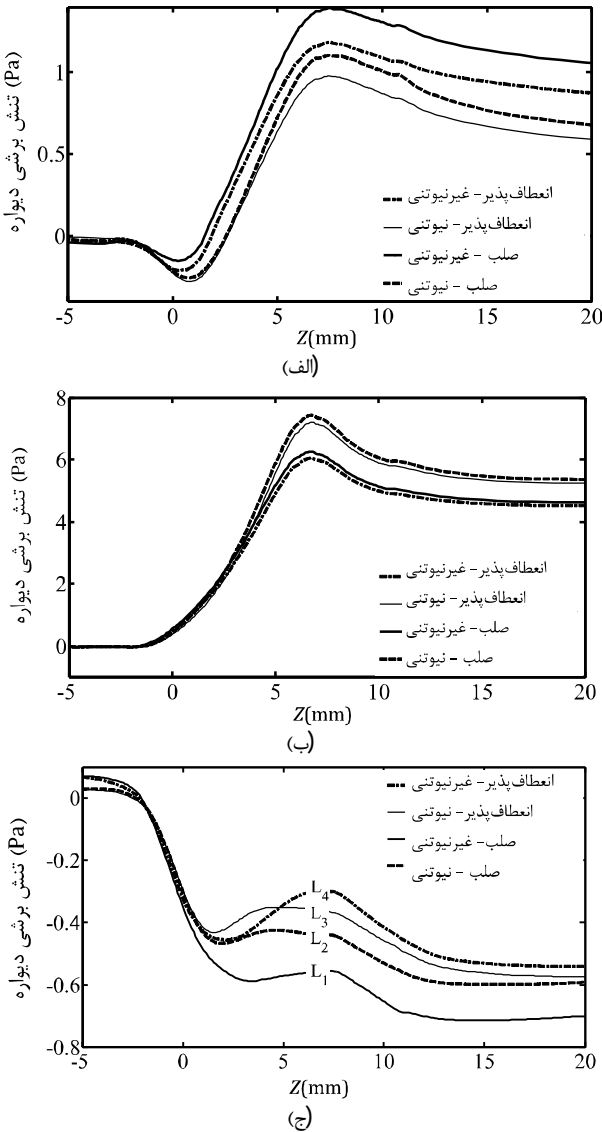
$$TAWSS = \frac{1}{T} \int_0^T |\tau_w| dt \quad (9)$$

۱-۲-۸- توزیع تنش برشی دیواره

تنش برشی واردہ از طرف سیال خون بر دیواره عروق عامل اصلی ضخیم شدن لایه داخلی رگ‌ها محسوب می‌شود [15-17]. سلول‌های اندوتیالی به طور پیوسته تحت تنش برشی ناشی از جریان خون قرار دارند. فرای [18، 19] با انجام آزمایش‌هایی بر روی لایه اندوتیلیوم نشان داد که اعمال تنش برشی زیاد بر سلول‌های این لایه موجب متروکه شدن این لایه می‌گردد. از طرف دیگر کارو و همکاران [20] ضخیم شدن لایه داخلی رگ را در انحنای داخلی یک شریان منحنی به شکل نیم دایره مشاهده کردند، جایی که تنش برشی پایینی بر سلول‌های اندوتیال اعمال می‌گردد. ضخیم شدن لایه داخلی رگ در ناحیه دیستال پیکربندی پیوند با پس معمولاً به ناهمسانی جنس پیوند و شریان میزان نسبت داده می‌شود [21]. شکل 11 و 12 به ترتیب نحوه توزیع تنش برشی لحظه‌ای روی خط مرکز بستر شریان میزان و پنجه پیوند با پس در زمان‌های مختلف را نشان می‌دهد. همان‌طور که در این شکل‌ها ملاحظه می‌گردد اختلاف موجود میان حالتی که جنس پیوند و شریان میزان یکسان است با حالت غیر یکسان، تنها در دیواره خارجی آن کمتر یا تقریباً برابر آن باشد (زمان‌های t_3 و t_5) در شکل (3) قابل مشاهده است. دلیل این امر این است که به دلیل فشار تراسمورال محیطی اعمال شده بر دیواره داخلی پیوند با پس، دیواره پیکربندی مقاومت بسیار بیشتری در برابر انبساط به دلیل افزایش فشار داخلی نسبت به انقباض در برابر کاهش فشار داخلی از خود نشان می‌دهد بنابراین افزایش فشار داخلی پیوند با پس تقریباً از سوی دیواره بی‌پاسخ مانده (شکل 11 و 12، (الف) و (ج)) در حالی که هرگونه کاهش فشار در داخل آن به سرعت موجب عکس العمل دیواره می‌گردد (شکل 11 و 12، (ب) و (د)). همان‌طور که در شکل 11 و 12 ملاحظه می‌گردد مقدار تنش برشی در ناحیه دیستال شریان میزان در حالتی که جنس پیوند و شریان میزان یکسان است، در زمان‌های t_3 و t_5 کمتر از حالت غیر یکسان است.

دلیل این امر این است که در حالت غیر یکسان به دلیل بیشتر بودن سختی پیوند نسبت به شریان میزان، میزان کاهش قطر شریان میزان بیش از پیوند است و در این حالت خون با سرعت بیشتری به ناحیه خواهد شد به این دلیل تفاوت همودینامیک سبب افزایش تنش برشی در این ناحیه خواهد شد به این دلیل تفاوت همودینامیک پیوند هم‌جنس و غیر هم‌جنس بعد از پنجه پیوند در شریان میزان افزایش بیشتری می‌یابد، این موضوع در شکل‌های 11 و 12، (ب) و (د) به راحتی قابل مشاهده است. در شکل‌های 11 و 12 همچنین تأثیر رئولوژی سیال خون در نحوه توزیع تنش برشی در خط مرکز بستر شریان میزان و پنجه پیوند نشان داده شده است. همان‌طور

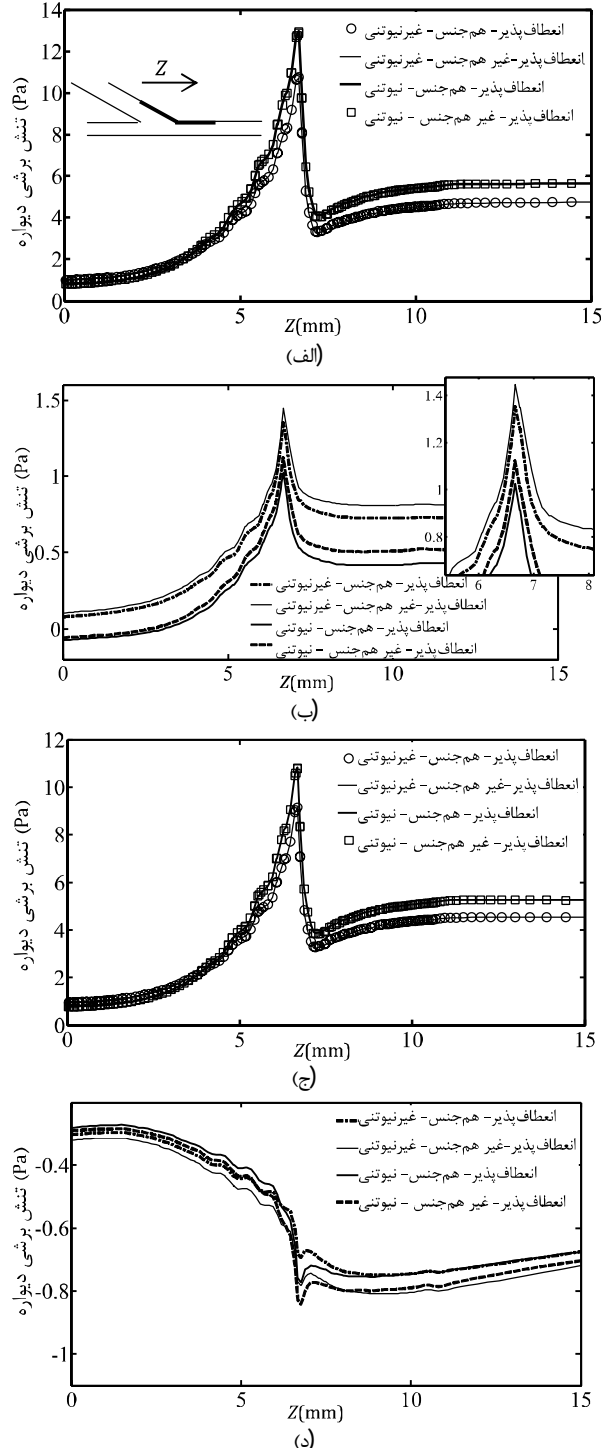
1- Wall Shear stress



شکل 13 توزیع تنش برشی روی خط مرکز بستر شریان میزان در زمان‌های $t_1=0.1\text{ s}$ ، $t_2=0.4\text{ s}$ ، $t_3=0.32\text{ s}$ ، $t_4=0.84\text{ s}$ ، $t_5=0.84\text{ s}$ (الف)، (ب)، (ج)

همچنین با توجه به شکل 13، (الف و ج)، مشاهده می‌گردد که تاثیر انعطاف‌پذیری دیواره روی مدل غیرنیوتی بیشتر از مدل نیوتی است. در شکل 13، (ج) نکته‌ای که بسیار حائز اهمیت است این است که اثر رئولوژی غیر نیوتی خون مستقل از اثر انعطاف‌پذیری دیواره نمی‌باشد. برای روشن‌تر شدن موضوع اگر فرض شود که اصل برهمنگی در مورد این اثرات حاکم است و خواسته شود که توزیع تنش برشی سیال غیر نیوتی در مدل انعطاف‌پذیر (خط L_4) با استفاده از این اصل و با جمع توزیع تنش برشی سیال نیوتی در مدل انعطاف‌پذیر (خط L_1) و اختلاف توزیع تنش برشی سیال نیوتی و غیر نیوتی در مدل صلب (L_2-L_3) بدست آورده شود، نتیجه توزیع نشان داده شده در شکل 13، (ج) (خط L_4) نخواهد بود. لازم به ذکر است که پیش‌تر در مرجع [6] این نتیجه در مورد یک پیوند با پس ترکیبی و در مورد پارامتر همودینامیکی گرادیان تنش برشی متوضط‌گیری شده نسبت به زمان حاصل شده بود، در اینجا بار دیگر این نتیجه در پیوند با پس انتها به پهلو و در مورد پارامتر همودینامیکی تنش برشی لحظه‌ای حاصل شده است.

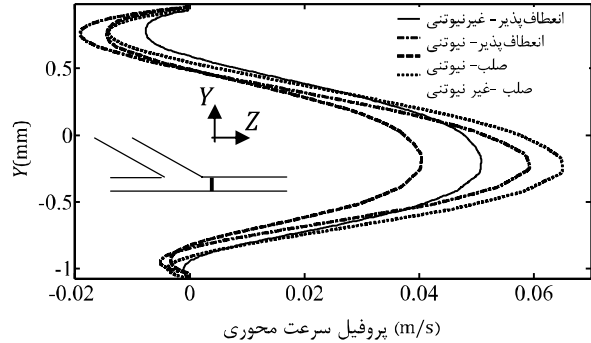
در شکل 14 پروفیل سرعت محوری در زمان $t_1=0.1\text{ s}$ ، زمان شروع تغییر جهت سیال، روی خط نشان داده شده در این شکل ترسیم شده است.



شکل 12 توزیع تنش برشی در پنجه در زمان‌های $t_1=0.1\text{ s}$ ، $t_2=0.32\text{ s}$ ، $t_3=0.4\text{ s}$ ، $t_4=0.84\text{ s}$ ، $t_5=0.84\text{ s}$ (الف)، (ب)، (ج)، (د)، (ه). در شکل (الف)، خطی که در روی آن نمودارها رسم شده‌اند نشان داده شده است. در شکل (ب)، شکل کوچکتر تصویری بزرگنمایی شده از قله نمودارها را نشان می‌دهد

در شکل 12، (ب) همچنین نشان داده است که ناهمسانی جنس پیوند و شریان میزان سبب افزایش تنش برشی سیال در پنجه پیوند می‌گردد. در شکل‌های 13 (الف-ج) تقاضت نحوه توزیع تنش برشی روی خط مرکز بستر شریان میزان در مدل‌هایی با دیواره صلب و انعطاف‌پذیر با فرض رئولوژی‌های نیوتی و غیر نیوتی برای سیال خون نمایش داده شده است. با توجه به این شکل همواره اندازه تنش برشی در مدل‌های انعطاف‌پذیر کمتر از مدل‌های صلب است.

- [2] W. M. Abbott, J. Megerman, J. E. Hasson, G. L'Italian, D. F. Warnock, Effect of compliance mismatch on vascular graft patency, *Journal of Vascular Surgery*, Vol. 5, No. 2, pp. 376-82, 1987.
- [3] H. S. Bassiouny, S. White, S. Glagov, E. Choi, D. P. Giddens, C. K. Zarins, Anastomotic intimal hyperplasia: mechanical injury or flow induced, *Journal of Vascular Surgery*, Vol. 15, No. 4, pp. 708-16, 1992.
- [4] P. D. Ballyk, C. Walsh, J. Butany, M. Ojha, Compliance mismatch may promote graft-artery intimal hyperplasia by altering suture-line stresses, *Journal of Biomechanics*, Vol. 31, No. 3, pp. 229-237, 1997.
- [5] M. Hofer, G. Rappitsch, K. Perktold, W. Trubel, H. Schima, Numerical study of wall mechanics and fluid dynamics in end-to-side anastomoses and correlation to intimal hyperplasia, *Journal of Biomechanics*, Vol. 29, No. 10, pp. 1297-1308, 1996.
- [6] F. Kabilnejadian, D. N. Ghista, Compliant model of a coupled sequential coronary arterial bypass graft: Effects of vessel wall elasticity and non-Newtonian rheology on blood flow regime and hemodynamic parameters distribution, *Medical Engineering & Physics*, Vol. 34, No. 7, pp. 860-872, 2012.
- [7] A. Razavi, E. Shirani, M. R. Sadeghi, Numerical simulation of blood pulsatile flow in a stenosed carotid artery using different rheological models, *Journal of Biomechanics*, Vol. 44, No. 11, pp. 2021-2030, 2011.
- [8] R. L. Wesly, R. N. Vaishnav, J. C. Fuchs, D. J. Patel, J. C. Greenfield, Jr., Static linear and nonlinear elastic properties of normal and arterialized venous tissue in dog and man, *Circulation Research*, Vol. 37, No. 4, pp. 509-20, 1975.
- [9] D. A. McDonald, *Blood flow in arteries*, Baltimore, Williams & Wilkins, pp. 312., 1974.
- [10] M. A. Galjee, A. C. van Rossum, T. Doesburg, M. B. Hofman, T. H. Falke, C. A. Visser, Quantification of coronary artery bypass graft flow by magnetic resonance phase velocity mapping, *Magnetic Resonance Imaging*, Vol. 14, No. 5, pp. 485-93, 1996.
- [11] Y. C. Fung, *Biomechanics, circulation*, New York, Springer., pp. 406., 1997.
- [12] D. Zeng, E. Boutsianis, M. Ammann, K. Boomsma, S. Wildermuth, D. Poulikakos, A study on the compliance of a right coronary artery and its impact on wall shear stress, *Journal of Biomechanical Engineering*, Vol. 130, No. 4, pp. 2937744, 2008.
- [13] M. Desai, J. Mirzay-Razzaz, D. von Delft, S. Sarkar, G. Hamilton, A. M. Seifalian, Inhibition of neointimal formation and hyperplasia in vein grafts by external stent/sheath, *Vascular Medicine*, Vol. 15, No. 4, pp. 287-97, 2010.
- [14] V. Vijayan, N. Shukla, J. L. Johnson, P. Gadsdon, G. D. Angelini, F. C. Smith, R. Baird, J. Y. Jeremy, Long-term reduction of medial and intimal thickening in porcine saphenous vein grafts with a polyglactin biodegradable external sheath, *Journal of Vascular Surgery*, Vol. 40, No. 5, pp. 1011-9, 2004.
- [15] S. Giordana, S. J. Sherwin, J. Peiro, D. J. Dooley, J. S. Crane, K. E. Lee, N. J. Cheshire, C. G. Caro, Local and global geometric influence on steady flow in distal anastomoses of peripheral bypass grafts, *Journal of Biomechanical Engineering*, Vol. 127, No. 7, pp. 1087-98, 2005.
- [16] R. S. Keynton, M. M. Evancho, R. L. Sims, N. V. Rodway, A. Gobin, S. E. Rittgers, Intimal hyperplasia and wall shear in arterial bypass graft distal anastomoses: an *in vivo* model study, *Journal of Biomechanical Engineering*, Vol. 123, No. 5, pp. 464-73, 2001.
- [17] F. Loth, S. A. Jones, C. K. Zarins, D. P. Giddens, R. F. Nassar, S. Glagov, H. S. Bassiouny, Relative contribution of wall shear stress and injury in experimental intimal thickening at PTFE end-to-side arterial anastomoses, *Journal of Biomechanical Engineering*, Vol. 124, No. 1, pp. 44-51, 2002.
- [18] D. L. Fry, Acute vascular endothelial changes associated with increased blood velocity gradients, *Circulation Research*, Vol. 22, No. 2, pp. 165-97, 1968.
- [19] D. L. Fry, Certain histological and chemical responses of the vascular interface to acutely induced mechanical stress in the aorta of the dog, *Circulation Research*, Vol. 24, No. 1, pp. 93-108, 1969.
- [20] C. G. Caro, J. M. Fitz Gerald, R. C. Schroter, Atheroma and arterial wall shear. Observation, correlation and proposal of a shear dependent mass transfer mechanism for atherosclerosis, *Proceedings of the Royal Society of London series B-Biological sciences*, Vol. 177, pp. 109-159, 1971.
- [21] A. W. Clowes, Geary, R., *Vascular biology - the new frontier*, *Cardiovascular Surgery*, Vol. 2, pp. 301-307, 1994.
- [22] J. Chen, X.-Y. Lu, W. Wang, Non-Newtonian effects of blood flow on hemodynamics in distal vascular graft anastomoses, *Journal of Biomechanics*, Vol. 39, No. 11, pp. 1983-1995, 2006.



شکل 14 مقایسه پروفیل سرعت محوری در بخش دیستال شریان میزبان در زمان $t_5=0.84s$

همان‌طور که در این شکل ملاحظه می‌گردد پروفیل سرعت مدل غیرنیوتی به دلیل خاصیت رقیق‌سازی¹ آن همواره ملایمتر از مدل نیوتی است. همچنین در این شکل مشاهده می‌گردد که در مدل‌های انعطاف‌پذیر کاهش سرعت محوری جریان کمتر از مدل‌های صلب است. توجیه این موضوع به این صورت است که اگر یک لوله صلب و یک لوله انعطاف‌پذیر در نظر گرفته شود و سرعت سیال در ورودی هر دو لوله در حال کاهش باشد، در حالت صلب جریان تنها با کاهش سرعت در داخل لوله می‌تواند قانون پایستگی جرم را ارضاء کند در حالی که در لوله انعطاف‌پذیر این مهم به وسیله دو مکانیزم کاهش سرعت جریان در داخل لوله و کاهش قطر لوله می‌تواند انجام شود، بنابراین سهیم کاهش سرعت جریان در داخل لوله در حالت انعطاف‌پذیر کمتر از حالت صلب خواهد بود. این نتیجه با نتایج تحقیقات پیشین سازگار است [22,6,5].

9- نتیجه‌گیری

نتایج شیوه‌سازی‌های اندرکنش سیال - سازه دوراهه نشان می‌دهند که ناهمسانی جنس پیوند و شریان میزبان موجب جابجایی کمتر دیواره پیکربندی پیوند با پس در ناحیه بحرانی محل اتصال پیوند به شریان میزبان خواهد شد و این موضوع سبب ایجاد تنفس برشی بیشتر در سازه و در محل اتصال پیوند به شریان میزبان می‌گردد. جابجایی مذکور در هر دو حالت همسان و غیرهمسان به نحوی است که همواره درصد جداسازی پیوند و شریان میزبان در محل خط بخیه است. نحوه توزیع تنفس برشی روی خط مرکز بستر شریان میزبان و پنجه پیوند نشان می‌دهد که تفاوت توزیع این پارامتر همودینامیکی تنها در حالتی که فشار وارد بر دیواره داخلی پیکربندی پیوند با پس از فشار وارد بر دیواره خارجی آن کمتر یا تقریباً برابر آن باشد قابل ملاحظه بوده و همچنین مقدار این پارامتر همودینامیکی در ناحیه دیستال پیکربندی پیوند با پس و بعد از پنجه آن در حالت همسان کمتر از حالت غیرهمسان است. همچنین مشخص شد که همواره اندازه تنفس برشی در مدل‌های انعطاف‌پذیر کمتر از مدل‌های صلب است و تاثیر انعطاف‌پذیری دیواره روی مدل غیرنیوتی بیشتر از مدل نیوتی است. همچنین نشان داده شد که اثر رئولوژی غیر نیوتی خون مستقل از اثر انعطاف‌پذیری دیواره نمی‌باشد.

10- مراجع

- [1] W. Trubel, H. Schima, A. Moritz, F. Raderer, A. Windisch, R. Ullrich, U. Windberger, U. Losert, P. Polterauer, Compliance mismatch and formation of distal anastomotic intimal hyperplasia in externally stiffened and lumen-adapted venous grafts, *European Journal of Vascular and Endovascular Surgery*, Vol. 10, No. 4, pp. 415-423, 1995.